## Materiewellen und Formfaktoren

a)  $R_{\text{Atom}} \approx 1.73 \text{ Å}$ ;  $R_{\text{Kern}} \approx 7.5 \text{ fm}$   $\lambda_{\text{Atom}} = \frac{h}{\sqrt{2E_{\text{Atom}}m_{\alpha}}} \stackrel{!}{=} R_{\text{Atom}} \implies E_{\text{Atom}} = \frac{2m_{\alpha}R_{\text{Atom}}^2}{h^2} = \underline{0.007 \text{ eV}}$ 

$$\lambda_{\mathrm{Kern}} = \frac{h}{\sqrt{2E_{\mathrm{Kern}}m_{\alpha}}} \stackrel{!}{=} R_{\mathrm{Kern}} \quad \Rightarrow \quad E_{\mathrm{Kern}} = \frac{2m_{\alpha}R_{\mathrm{Kern}}^2}{h^2} = \underline{3.67 \ \mathrm{MeV}}$$

b)

$$F(q^{2}) = \int_{\mathbb{R}^{3}} e^{\frac{iqx}{\hbar}} f(x) dx = \int_{0}^{2\pi} \int_{0}^{\pi} \int_{0}^{\infty} e^{\frac{iqr\cos(\theta)}{\hbar}} f(r)r^{2}\sin(\theta) dr d\theta d\varphi$$

$$= 2\pi \int_{0}^{\infty} f(r)r^{2} \int_{0}^{\pi} e^{\frac{iqr\cos(\theta)}{\hbar}} \sin(\theta) d\theta dr = 2\pi \int_{0}^{\infty} f(r)r^{2} \int_{-1}^{1} e^{\frac{iqru}{\hbar}} du dr$$

$$= 4\pi \int_{0}^{\infty} f(r)r^{2} \left( e^{\frac{iqr}{\hbar}} - e^{-\frac{iqr}{\hbar}} \right) \frac{\hbar}{2iqr} dr = 4\pi \int_{0}^{\infty} \frac{\sin(\frac{qr}{\hbar})}{\frac{qr}{\hbar}} f(r)r^{2} dr$$

c) 
$$\langle r^2 \rangle = 4\pi \int_0^\infty r^4 f(r) \, dr; \quad \frac{\sin\left(\frac{qr}{\hbar}\right)}{\frac{qr}{\hbar}} \approx 1 + \frac{r^2 q^2}{6\hbar^2}$$

$$F(\mathbf{q}^2) \approx 4\pi \int_0^\infty f(r) \left(r^2 + \frac{r^4 q^2}{6\hbar^2}\right) dr = 4\pi \int_0^\infty f(r) r^2 \, dr + \langle r^2 \rangle \frac{6\hbar^2}{q^2} = 1 + \langle r^2 \rangle \frac{6\hbar^2}{q^2}$$

$$\Rightarrow \langle r^2 \rangle = \left(F(\mathbf{q}^2) - 1\right) \frac{q^2}{6\hbar^2}$$

d) 
$$f(r) = f_0 e^{-ar}$$

$$\int_{\mathbb{R}^3} f(\mathbf{x}) \, \mathrm{d}\mathbf{x} \stackrel{!}{=} 1 \quad \Longleftrightarrow \quad \int_0^\infty f_0 \, \mathrm{e}^{-ar} r^2 \, \mathrm{d}r = \frac{1}{4\pi} \quad \Longleftrightarrow \quad \underline{f_0 = \frac{a^3}{8\pi}}$$

e) 
$$F(q^2) = (1 + \alpha^2)^{-2}$$

$$F(q^{2}) = 4\pi \int_{0}^{\infty} \frac{\sin\left(\frac{qr}{\hbar}\right)}{\frac{qr}{\hbar}} f(r)r^{2} dr = \frac{\hbar a^{3}}{2q} \int_{0}^{\infty} \sin\left(\frac{qr}{\hbar}\right) e^{-ar} r dr = \frac{a^{4} \hbar^{4}}{\left(a^{2} \hbar^{2} + q^{2}\right)^{2}}$$

$$\Rightarrow \alpha(q, a) = \frac{q}{\underline{a\hbar}}$$

Diese Ladungsverteilung beschreibt Protonen.

f) 
$$f(r) = \begin{cases} \frac{3}{4\pi R_0^3} & \text{für } 0 \le r \le R_0 \\ 0 & \text{für } R_0 < r \end{cases}$$

$$F(q^2) = 4\pi \int_0^\infty \frac{\sin\left(\frac{qr}{\hbar}\right)}{\frac{qr}{\hbar}} f(r)r^2 dr = 3\frac{\hbar}{qR_0^3} \int_0^{R_0} \sin\left(\frac{qr}{\hbar}\right)r dr =$$

$$= 3\frac{\sin\left(\frac{qR_0}{\hbar}\right) - \frac{qR_0}{\hbar}\cos\left(\frac{qR_0}{\hbar}\right)}{\frac{q^3R_0^3}{\hbar^3}} = 3\frac{\sin(x) - x\cos(x)}{x^3} , \text{ mit } x(q) = \frac{qR_0}{\hbar}$$

Diese Ladungsverteilung wird in der Natur nicht wiedergefunden, man kann schwerere Kerne aber dadurch approximieren.

g) 
$$x(0) = 0$$

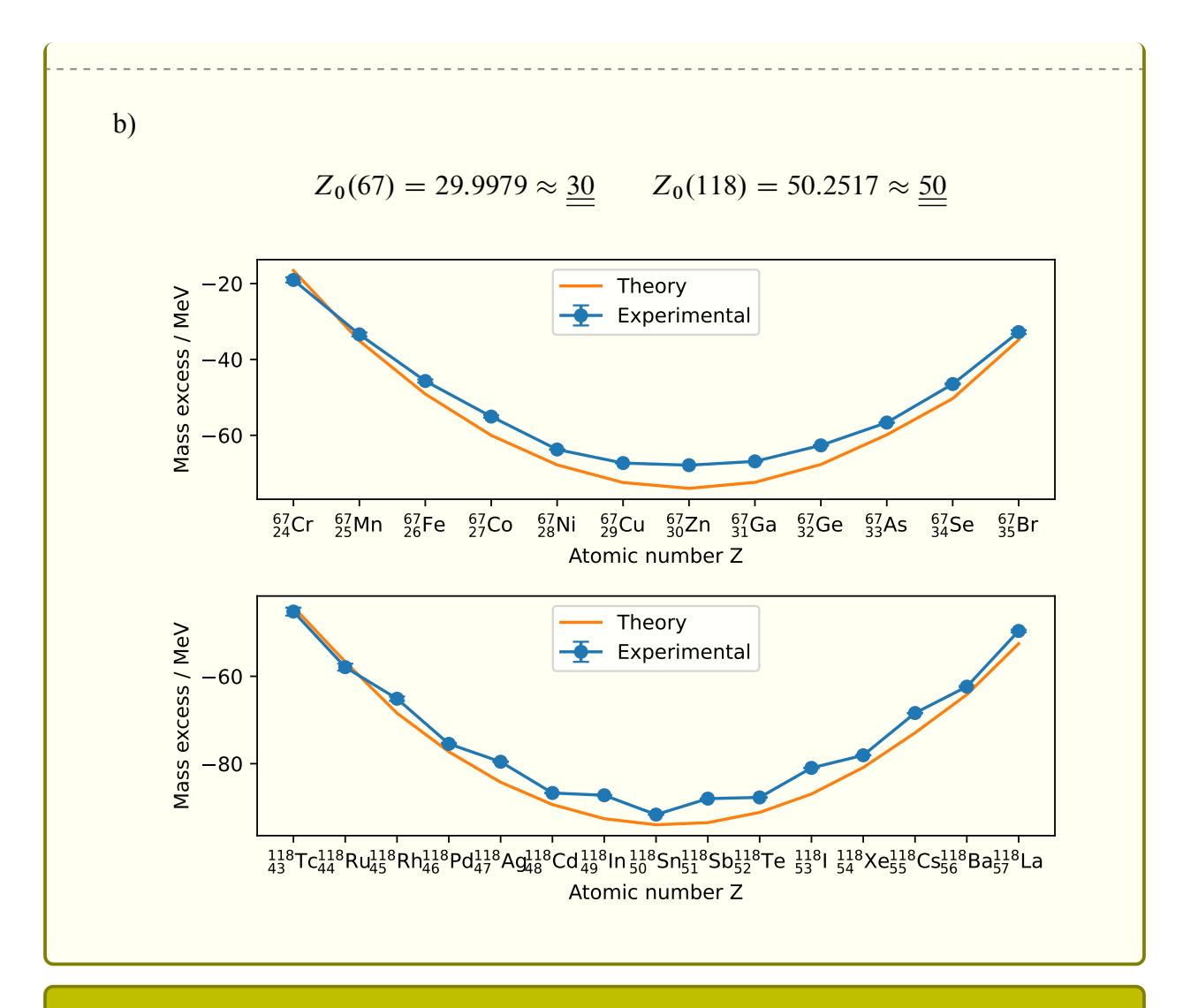
$$F(0) = \lim_{x \to 0} \left( 3 \frac{\sin(x) - x \cos(x)}{x^3} \right) = 3 \lim_{x \to 0} \left( \frac{1}{x^2} \right) = \text{divergient gegen } \infty$$

## Stabilstes Nuklid einer Isobare

$$M(A, Z) = Z(m_{\rm P} + m_{\rm e}) + (A - Z)m_{\rm N} - (a_{\rm V}A - a_{\rm S}A^{2/3} - a_{\rm C}Z^2A^{-1/3} - a_{\rm A}\frac{(A-2Z)^2}{4} + \delta a_{\rm P}A^{-1/2})c^{-2}$$

$$\frac{\partial M(A,Z)}{\partial Z} = m_{\rm P} + m_{\rm e} - m_{\rm N} - \left(\frac{4a_{\rm A}(A-2Z)}{A} - \frac{2a_{\rm C}Z}{A^{1/3}}\right)c^{-2} \stackrel{!}{=} 0$$

$$\Rightarrow Z_0(A) = \frac{4a_A - (m_P + m_e - m_N)c^2}{2A^{-1/3}(a_C + 4a_A A^{-2/3})}$$



## Luminosität des LHC

a) 
$$\sigma = 0.07$$
 b;  $L_{\rm int} \approx 200$  1/fb

$$L_{\text{int}} = \int \frac{1}{\sigma} \frac{\mathrm{d}N}{\mathrm{d}t} \, \mathrm{d}t = \frac{N}{\sigma}$$

$$\Rightarrow N = L_{\rm int}\sigma = \underline{1.4 \times 10^{16}}$$

- b) Die meisten pp-Wechselwirkungen fanden 2018 statt.
  - Die integrierte Luminosität kann mit der Zeit nicht abnehmen, da weder die Targetanzahl N, noch der Fluss  $\phi$  negativ werden und daher die zu integrierende Funktion strikt positiv ist.

- Der LHC läuft nicht durchgehend, was die Sattelpunkte in den Graphen erklärt. Zudem werden unterschiedliche Kollisionsexperimente durchgeführt (p-p, p-Pb, Pb-Pb), welche mit unterschiedlichen Targets und Flüssen arbeiten.